

# ## Signaux ##

## I Notion de base

### 1 Définition

Grandeur physique dont la détermination permet d'accéder à une information souhaitée

eg

- courant, intensité (élec)
- position, accélération, vitesse (méca)
- lumière : onde électromagnétique
- pression sur un pneu de voiture
- température

### 2 Signaux périodiques

$T$  : durée minimale entre deux répétitions identiques du signal

$f$  : nombre de répétitions du signal par unité de temps

### 3 Ordre de grandeurs

Onde sonore      20 Hz ~ 20 kHz

téléphonie      300 Hz ~ 3.2 kHz (son transmis par un téléphone)

radio 102.5 MHz

wifi 1 GHz ~ 5 GHz

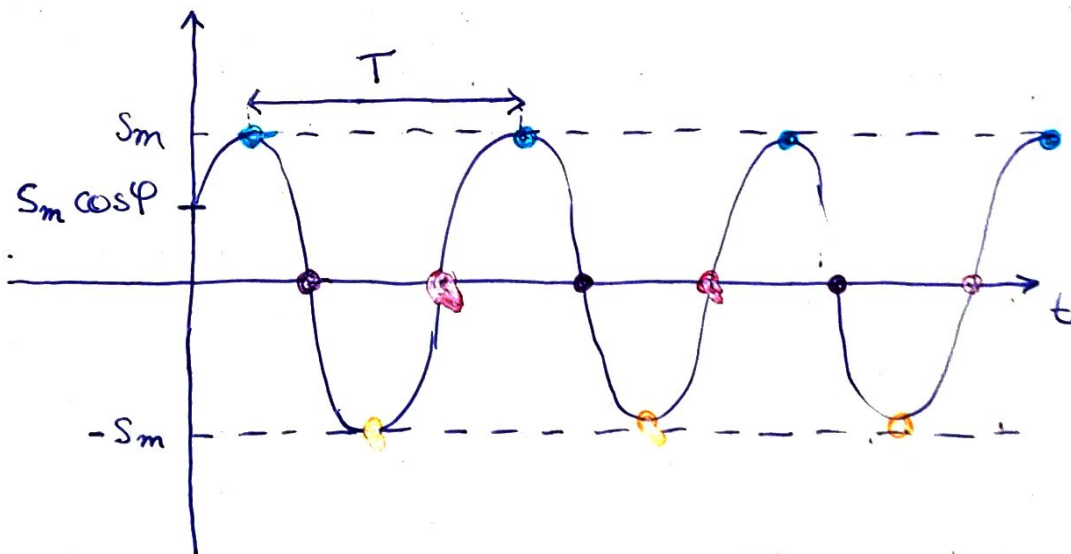
## II Représentation d'une grandeur sinusoïdale

Soit le signal  $s(t) = \underbrace{S_m}_{\text{Amplitude}} \cos(\underbrace{\omega t}_{\text{Pulsation}} + \underbrace{\varphi}_{\text{Phase à l'origine [rad]}})$

$$\omega = 2\pi f$$
$$= \frac{2\pi}{T}$$

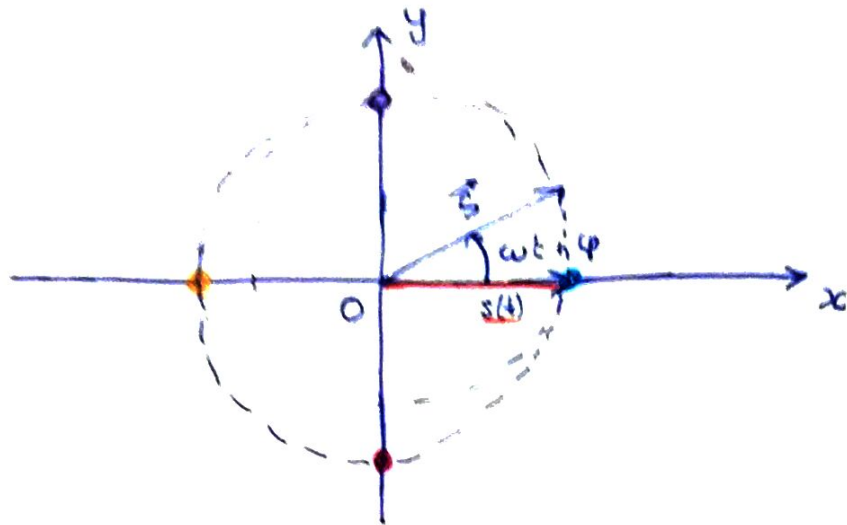
[rad·s<sup>-1</sup>]

Représentation temporelle



On peut associer à  $s$  un vecteur  $\vec{S}$  tel que

- $\|\vec{S}\| = S_m$
- Fait un angle  $\omega t + \varphi$  par rapport à  $(Ox)$



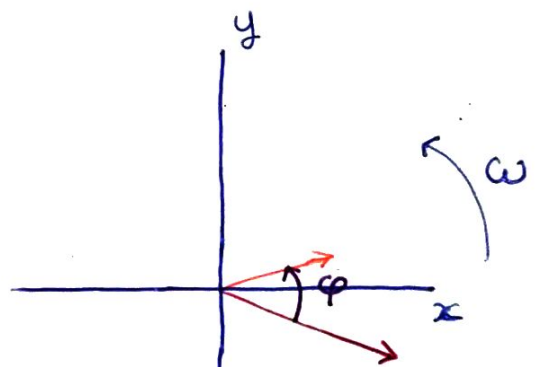
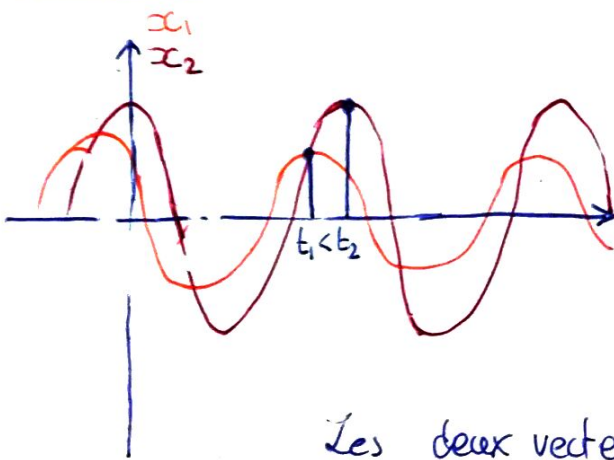
La projection de  $\vec{S}$  sur  $(Ox)$  est  $s(t)$

Quand  $t$  croît:

- $\vec{S}$  tourne autour de  $O$   
 décrivant un cercle de rayon  $S_m$   
 à une vitesse angulaire  $\omega$

$\vec{S}$  est appelé vecteur de Fresnel

### Intérêt



Les deux vecteurs tournent à la vitesse  $\omega$   
 $x_1$  est en avance par rapport à  $x_2$ .

$\varphi = \varphi_1 - \varphi_2$  : déphasage de  $\pm 1/2$  avec  $x_1 = S_1 \cos(\omega t + \varphi_1)$   
 $x_2 = S_2 \cos(\omega t + \varphi_2)$

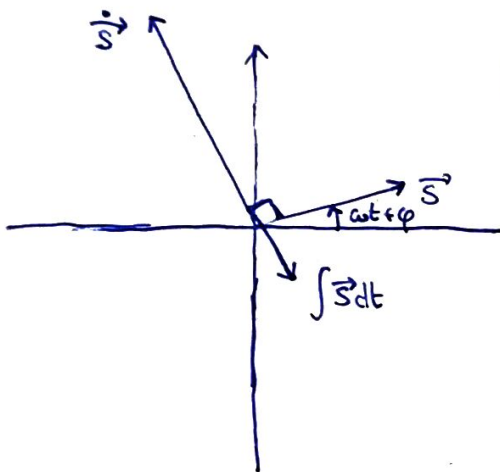
$$s(t) = S_m \cos(\omega t + \varphi)$$

$$\dot{s}(t) = -S_m \omega \sin(\omega t + \varphi)$$

$$= S_m \omega \cos(\omega t + \varphi + \frac{\pi}{2})$$

$$\int s(t) dt = \frac{S_m}{\omega} \sin(\omega t + \varphi)$$

$$= \frac{S_m}{\omega} \cos(\omega t + \varphi - \frac{\pi}{2})$$



(avec  $\omega = 1 \text{ rad s}^{-1}$ )

On dit que  $\dot{s}$  est en  
 avance de  $\frac{\pi}{2}$  / à  $s$   
 quadrature

### III Analyse spectrale

[poly]



# Partie : SIGNAUX

## Chap 2 Signaux

Extrait du programme officiel :

Notions et contenus	Capacités exigibles
<b>2. Propagation d'un signal</b>	
Exemples de signaux, spectre.	<p>Identifier les grandeurs physiques correspondant à des signaux acoustiques, électriques, électromagnétiques.</p> <p>Réaliser l'analyse spectrale d'un signal ou sa synthèse.</p> <p>Citer quelques ordres de grandeur de fréquences dans les domaines acoustiques et électromagnétiques.</p>

### III-Analyse spectrale.

- Rappel TS : donner le La

Avant de jouer toute œuvre musicale, les musiciens d'un orchestre accordent leur instrument. Par tradition, c'est le joueur de hautbois (ou le pianiste) qui donne le *la*, permettant ainsi au premier violon puis à tous les musiciens de s'accorder. « Donner le *la* » signifie que l'on donne une note de référence, le *la*, également appelé « *la<sub>3</sub>* » ou « *la 440* », qui permet à chaque instrument une fois accordé de produire un son harmonieux. Cette note peut aussi être produite par un instrument nommé diapason, qui peut être électronique ou mécanique.

À l'aide d'un microphone relié à la carte son d'un ordinateur, on peut enregistrer des sons pour les traiter éventuellement à l'aide d'un logiciel adapté. Il est ainsi possible d'obtenir, pour le son enregistré, son spectre en fréquence, c'est-à-dire la représentation des différentes amplitudes des signaux périodiques qui composent le signal en fonction de leur fréquence.

Il a ainsi été enregistré, sur des durées équivalentes de 10 ms, le *la 440* émis par un diapason (Fig. 1), par un piano (Fig. 2), puis par une flûte (Fig. 3).

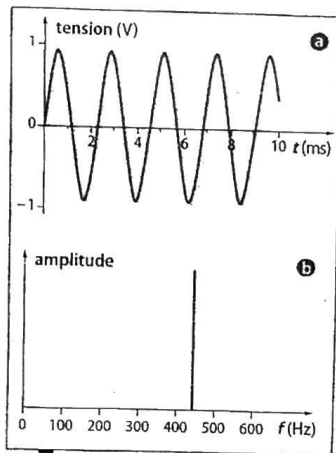


Fig. 1 a) Enregistrement et b) spectre en fréquence du *la 440* du diapason.

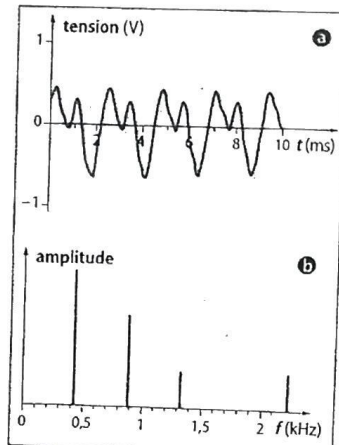


Fig. 2 a) Enregistrement et b) spectre en fréquence du *la 440* du piano.

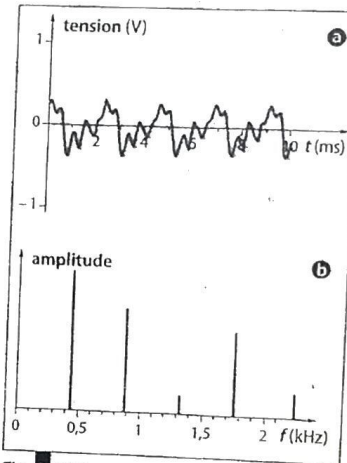
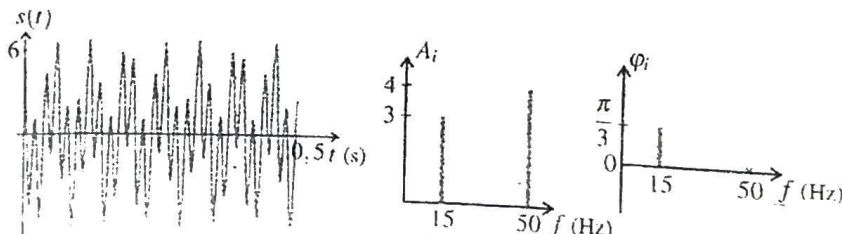


Fig. 3 a) Enregistrement et b) spectre en fréquence du *la 440* de la flûte.

*les spectre s'enrichit d'harmoniques dont les fréquences sont des multiples du fondamental*

- Approche de l'analyse spectrale :

Tracer à la calculatrice la fonction  $s(t) = 3 \cos\left(30\pi t + \frac{\pi}{3}\right) + 4 \cos(100\pi t)$   
 On obtient le graphe suivant ainsi que le spectre (amplitude et phase initiale)



*graphe en amplitude*

• Analyse spectrale d'un signal périodique. Série de Fourier.

On démontrera dans le cours de mathématiques, que sous certaines conditions de dérivabilité et de continuité, « toute fonction  $f(t)$ , périodique de période  $T_0$  (donc de pulsation  $\omega_0 = \frac{2\pi}{T_0}$  et de fréquence  $f_0$ ) peut être mise sous la forme d'une somme de fonctions sinusoïdales dont les pulsations sont des multiples entiers de  $\omega_0$  ».

Mathématiquement, cela s'écrit :

$$f(t) = A_0 + \sum_{n=1}^{\infty} (A_n \cos(n\omega_0 t) + B_n \sin(n\omega_0 t))$$

$$A_0 = \frac{1}{T_0} \int_{[T_0]} f(t) dt$$

$\Rightarrow A_0$  représente la valeur moyenne de  $f(t)$  souvent notée  $\langle f(t) \rangle$

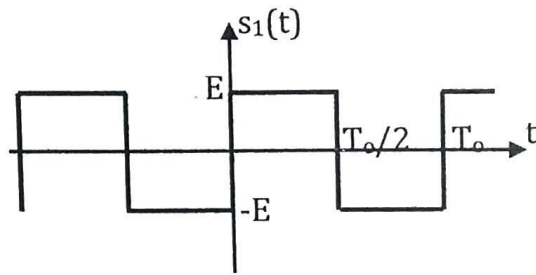
$$A_n = \frac{2}{T_0} \int_{[T_0]} f(t) \cos(n\omega_0 t) dt$$

et

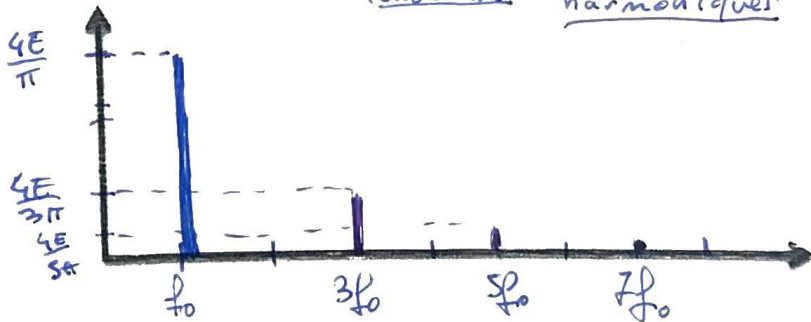
$$B_n = \frac{2}{T_0} \int_{[T_0]} f(t) \sin(n\omega_0 t) dt$$

Exemples.

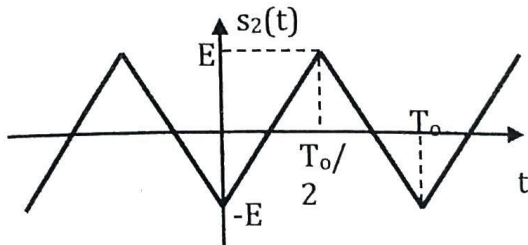
a) signal créneau :



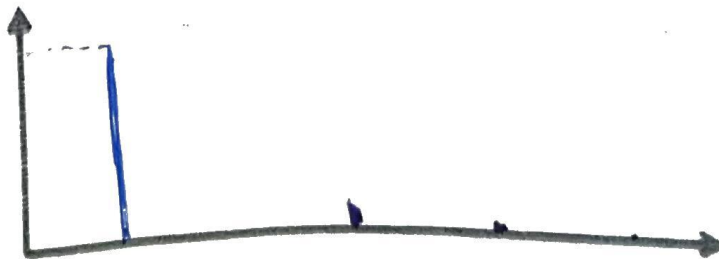
La décomposition donne :  $s_1(t) = \frac{4E}{\pi} (\underbrace{\sin(\omega_0 t)}_{\text{fonction de base}} + \underbrace{\frac{\sin(3\omega_0 t)}{3} + \frac{\sin(5\omega_0 t)}{5} + \dots}_{\text{harmoniques}})$  de spectre :



b) signal triangulaire :



La décomposition donne :  $s_2(t) = \frac{-8E}{\pi^2} (\cos(\omega_0 t) + \frac{\cos(3\omega_0 t)}{9} + \frac{\cos(5\omega_0 t)}{25} + \dots)$  de spectre :



en physique, beaucoup de signaux sont périodiques, ils sont alors décomposables en séries de Fourier une somme infinie de fonctions sinusoidales :

- la fondamentale
- les harmoniques

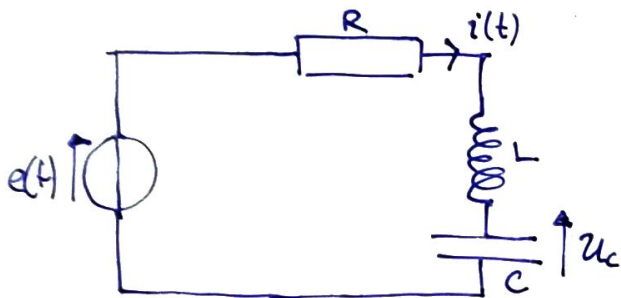
La fondamentale a toujours la même fréquence que le signal de départ

## ## Signaux ##

### I Régime sinusoïdal forcé

#### 1 Mise en équation en élec

Sab le circuit RLC



$$e(t) = E_m \cos(\omega t)$$

Loi des mailles:

$$e(t) = u_c + L \frac{di}{dt} + Ri \quad \text{et} \quad i(t) = C \ddot{u}_c$$

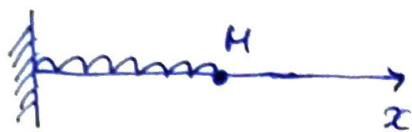
$$\Rightarrow E_m \cos(\omega t) = u_c + L(C \ddot{u}_c + R C \dot{u}_c)$$

$$\Leftrightarrow \ddot{u}_c + \frac{R}{L} \dot{u}_c + \frac{1}{LC} u_c = \frac{E_m}{LC} \cos(\omega t)$$

$$\text{On pose} \quad \omega_0^2 = \frac{1}{LC}; \quad \frac{\omega_0}{Q} = \frac{R}{L}$$

$$\ddot{u}_c + \frac{\omega_0}{Q} \dot{u}_c + \omega_0^2 u_c = \underbrace{\omega_0^2 E_m \cos(\omega t)}_{\text{sinusoïdal (variable!)}$$

## 2 Mise en Equation en meca



On note  $x$  l'allongement à l'éq.

$$\vec{F} = -k(l(t) - l_0) \vec{u}_x = -kx \vec{u}_x$$

$$\vec{P} + \vec{R}_x = \vec{0}$$

$$\vec{f} = -\lambda \vec{v} = -\lambda \dot{x} \vec{u}_x$$

≡ NEW: ∃ une force excitatrice

$$\vec{f}_e = F_0 \cos(\omega t) \vec{u}_x$$

On projette alors la 2<sup>e</sup> loi de N. :

$$m\ddot{x} = -kx - \lambda\dot{x} + F_0 \cos(\omega t)$$

$$\Leftrightarrow m\ddot{x} + \lambda\dot{x} + kx = F_0 \cos(\omega t)$$

$$\Leftrightarrow \ddot{x} + \frac{\lambda}{m}\dot{x} + \frac{k}{m}x = \frac{F_0}{m} \cos(\omega t)$$

$$\text{On pose } \omega_0^2 = \frac{k}{m}; \quad \frac{\omega_0}{Q} = \frac{\lambda}{m}$$

$$\Rightarrow \ddot{x} + \frac{\omega_0}{Q}\dot{x} + \omega_0^2 x = \underbrace{\frac{F_0}{m} \cos(\omega t)}_{\text{2<sup>nd</sup> membre variable!}}$$



Dans les deux modèles, le second membre provient de l'excitation externe:

- GBF (ext. au RLC)
- $\vec{F}_e$

### 3 Principe de résolution

$$\ddot{x} + \frac{\omega_0}{Q} \dot{x} + \omega_0^2 x = \frac{F_0}{m} \cos(\omega t)$$

$$\ddot{u}_c + \frac{\omega_0}{Q} \dot{u}_c + \omega_0^2 u_c = \omega_0^2 E_m \cos(\omega t)$$

Solutions pour  $\begin{cases} x(t) \\ u_c(t) \end{cases}$ :

$$x(t) = x_{EH}(t) + x_{sp}(t)$$

$$x_{sp}(t) = X_m \cos(\omega t + \varphi)$$

rg  $x_{EH}(t) \xrightarrow[t \rightarrow \infty]{\text{quelques fois } \frac{1}{\omega_0}} 0 \quad \forall \Delta \Leftrightarrow \forall Q$

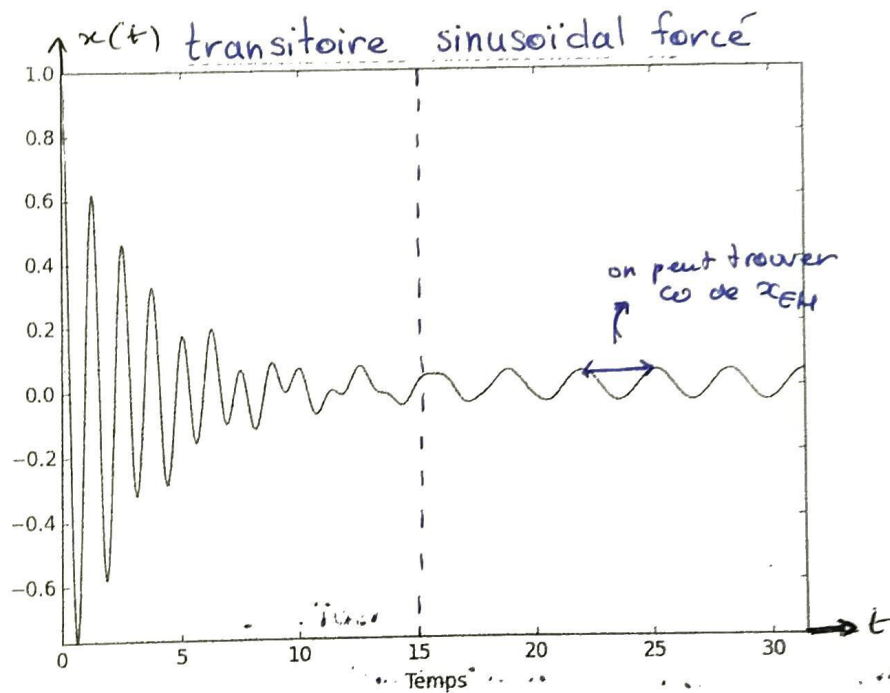
donc  $x(t) \xrightarrow[t \rightarrow \infty]{} x_{sp}(t) \quad \forall \Delta \Leftrightarrow \forall Q$   
 $= X_m \cos(\omega t + \varphi)$



Partie : SIGNAUX

Chap 15 Régime sinusoïdal forcé

<p>Régime sinusoïdal forcé, impédances complexes</p>	<p>Établir et connaître l'impédance d'une résistance, d'un condensateur, d'une bobine en régime harmonique.</p>
<p>Association de deux impédances.</p>	<p>Remplacer une association série ou parallèle de deux impédances par une impédance équivalente.</p>
<p>Oscillateur électrique ou mécanique soumis à une excitation sinusoïdale. Résonance.</p>	<p><b>Mettre en œuvre un dispositif expérimental autour du phénomène de résonance.</b></p>
	<p>Utiliser la construction de Fresnel et la méthode des complexes pour étudier le régime forcé en intensité ou en vitesse.</p>
	<p>Déterminer la pulsation propre et le facteur de qualité à partir de graphes expérimentaux d'amplitude et de phase dans le cas de la résonance en intensité ou en vitesse.</p>
	<p>À l'aide d'un outil de résolution numérique, mettre en évidence le rôle du facteur de qualité pour l'étude de la résonance en élévation.</p>
	<p>Relier l'acuité d'une résonance forte au facteur de qualité.</p>



Passage du régime transitoire au régime sinusoïdal forcé ou permanent ou harmonique

<sup>1</sup>En permanence sinusoïdal

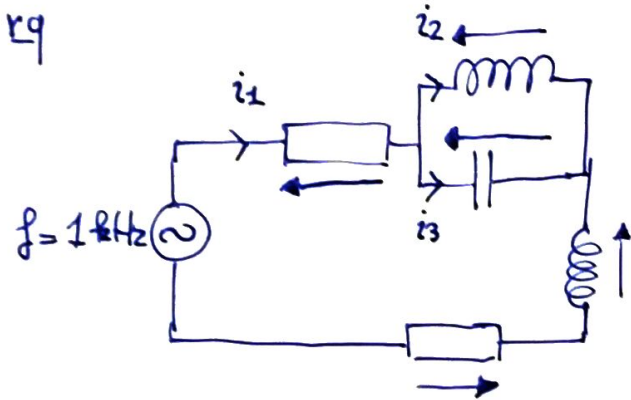
[poly]

"Très rapidement", la solution de l'EH s'estompe et:

$$x(t) = X_m \cos(\omega t + \varphi)$$

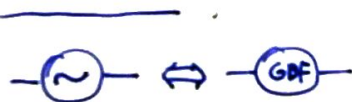
Il a la même pulsation  $\omega$  que l'excitateur

d'où le nom de régime sinusoïdal forcé <sup>GBF,  $f_e$</sup>   
par l'excitateur, qui impose la pulsation  $\omega$



N'importe quel grandeur obéit à une équation dont le second membre dépendra de l'excitateur de pulsation  $\omega = 2\pi f$ .

Chacune des grandeurs variera comme le second membre, de manière sinusoïdale, avec une pulsation imposée par l'excitateur.



## II Représentation d'une grandeur sinusoïdale

Soit la grandeur  $x(t) = X_m \cos(\omega t + \varphi)$

On peut lui associer un vecteur de Fresnel:

- On définit: la représentation complexe du signal  $x$

$$\begin{aligned}\underline{x}(t) &= X_m \cos(\omega t + \varphi) + j X_m \sin(\omega t + \varphi) \\ &= X_m e^{j(\omega t + \varphi)}\end{aligned}$$

Ainsi  $x(t) = \operatorname{Re} \underline{x}$

- On définit: l'amplitude complexe du signal

$$\underline{x}(t) = \underbrace{X_m e^{j\omega t}}_{\underline{X}^{\perp}: \text{amplitude complexe}} e^{j\varphi}$$

$$\Rightarrow \underline{x} = \underline{X} e^{j\omega t}$$

rg On sait que  $\forall$  les signaux seront de pulsation  $\omega$  imposée par l'excitateur. Il suffit donc de <sup>sinu.</sup> connaître  $X_m$  et la phase à l'origine  $\varphi$  du signal pour en avoir l'expr complète

---

$\underline{x}^{\perp}, \underline{X}$  sont des notations

rq L'amplitude  $X_m = |\underline{X}|$

la phase à l'orig  $\varphi = \arg \underline{X}$

prop

$$x(t) = X_m \cos(\omega t + \varphi)$$

$$\underline{x} = X_m e^{j(\omega t + \varphi)}$$

$$\underline{\dot{x}} = X_m j\omega e^{j(\omega t + \varphi)}$$

$$= j\omega \underline{x}$$

Dériver une grandeur complexe revient à la multiplier par  $j\omega$

$$\int \underline{x} = X_m \frac{1}{j\omega} e^{j(\omega t + \varphi)} dt$$

$$= \frac{\underline{x}}{j\omega}$$

Primitiver une grandeur complexe revient à la diviser par  $j\omega$

### III Dipôles passifs linéaires

#### 1 Convention

Soit un dipôle 

$$u(t) = U_m \cos(\omega t + \varphi_u)$$

$$i(t) = I_m \cos(\omega t + \varphi_i)$$

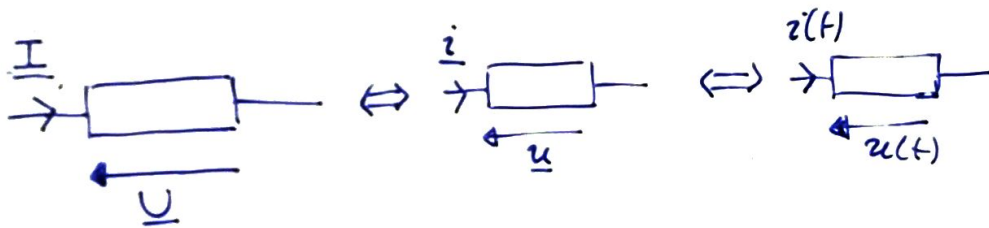
$$\underline{u} = U_m e^{j(\omega t + \varphi_u)}$$

$$\underline{i} = I_m e^{j(\omega t + \varphi_i)}$$

$$\underline{U} = U_m e^{j\varphi_u}$$

$$\underline{I} = I_m e^{j\varphi_i}$$

Le dipôle



#### 2 Impédance - Admittance

Def Pour le dipôle précédent :

- impédance  $\underline{Z} = \frac{\underline{u}}{\underline{i}} = \frac{U}{I} = \frac{U_m}{I_m} e^{j(\varphi_u - \varphi_i)} \in \mathbb{C}$

rq  $|\underline{Z}|$  en  $\Omega$

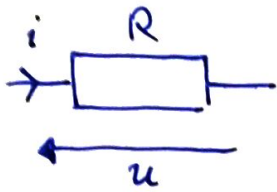
- admittance  $\underline{Y} = \frac{1}{\underline{Z}} = \frac{I_m}{U_m} e^{-j(\varphi_u - \varphi_i)} \in \mathbb{C}$

rq  $|\underline{Y}|$  en  $\Omega^{-1} = S$



### 3 Dipôles passifs usuels

#### a Conducteur Ohmique



Loi d'Ohm:

$$\text{Re} \left\{ \begin{array}{l} u = Ri \\ \underline{u} = R\underline{i} \end{array} \right.$$

On a:  $\frac{u}{i} = R = \underline{Z}_R$  l'impédance du dipôle R

L'impédance du  est égal à la résistance

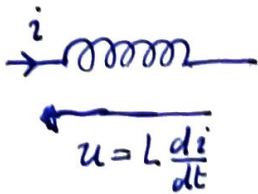
rq  $\underline{u} = R\underline{i}$

$$\underline{U} = R\underline{I}$$

$$\varphi_u = 0 + \varphi_i \Rightarrow \varphi_u = \varphi_i$$

$\Rightarrow u$  et  $i$  sont en phase

#### b Bobine idéale



$$\text{Re} \left\{ \begin{array}{l} u = L \frac{di}{dt} \\ \underline{u} = L \frac{d\underline{i}}{dt} \end{array} \right.$$

$$\Rightarrow \underline{u} = Lj\omega\underline{i}$$

On a  $\frac{u}{i} = jL\omega = \underline{Z}_L$  l'impédance L

$jL\omega$  et pas un autre sens

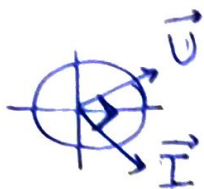


rg  $\underline{z} = \sum_L \underline{z} = jL\omega \underline{i}$

$\underline{U} = jL\omega \underline{I}$

$\varphi_u = \frac{\pi}{2} \varphi_i$

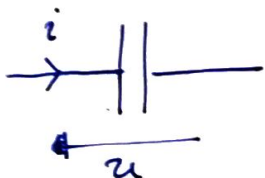
} arg



$u$  est en quadrature avancee par rapport à  $i$

[poly # 1]

c Condensateur idéal



Re  $\left\{ \begin{aligned} i &= C \dot{u} \\ \dot{i} &= C \ddot{u} = C j\omega \underline{u} \end{aligned} \right.$

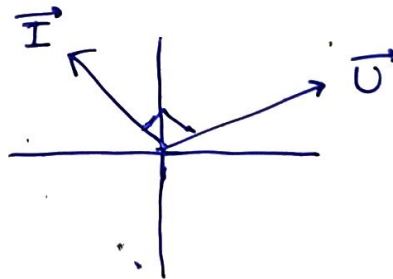
On a:  $\frac{\underline{u}}{\underline{i}} = \frac{1}{jC\omega} = \underline{Z}_c$  l'impédance bla bla bla

rg  $\underline{i} = jC\omega \underline{u}$

$\underline{I} = jC\omega \underline{U}$

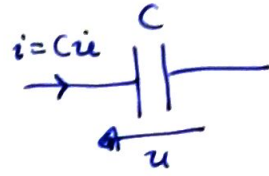
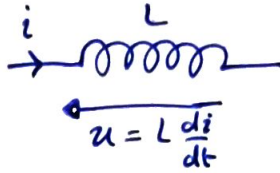
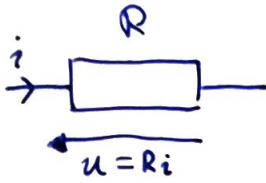
$\varphi_i = \frac{\pi}{2} \varphi_u$

} arg

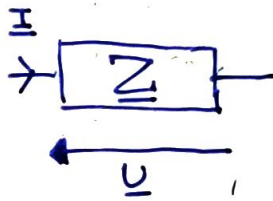


$\left\{ \begin{aligned} u &\text{ est en quadrature retard par rapport à } i \\ i &\text{ avance } u \end{aligned} \right.$

## d Conclusion



⇓ en RSF



$$\underline{U} = \underline{Z} \underline{I}$$

Loi d'Ohm  
(généralisée)

$$\begin{cases} \underline{Z}_R = R \\ \underline{Z}_L = jC\omega \\ \underline{Z}_C = \frac{1}{jL\omega} \end{cases}$$

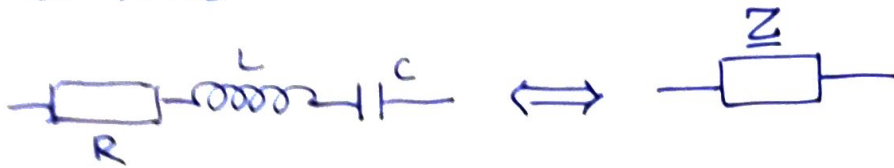
Grâce à  $\mathbb{C}$ , toutes les équations sont devenues

L I N É A I R E S

(i.e., quand c'est complexe c'est plus simple)

## 4 Association de dipôles

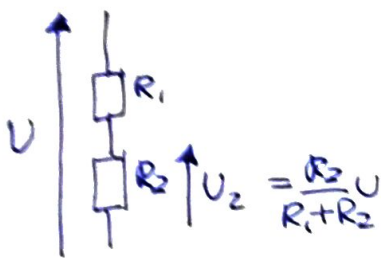
a en série



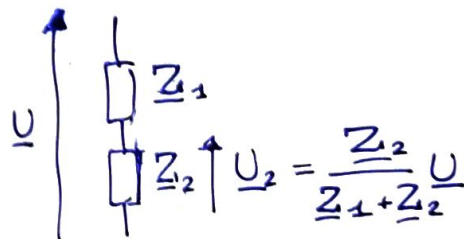
$$\underline{Z} = \underline{Z}_R + \underline{Z}_L + \underline{Z}_C$$
$$= R + jC\omega + \frac{1}{jL\omega}$$

car en série les tensions s'associent en sommant

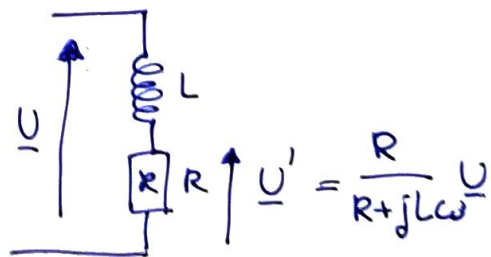
$$\underline{Z}_{eq} = \sum_k \underline{Z}_k$$



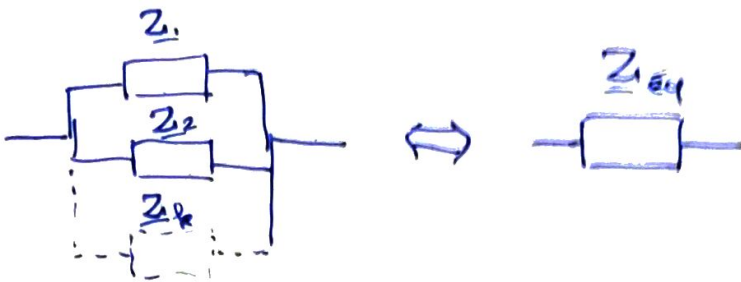
R S F



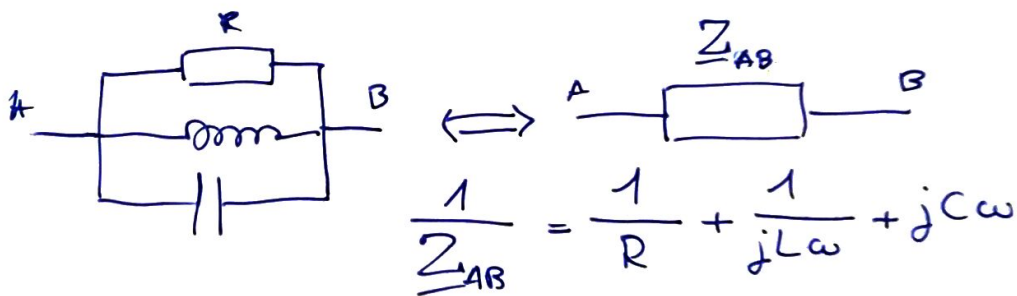
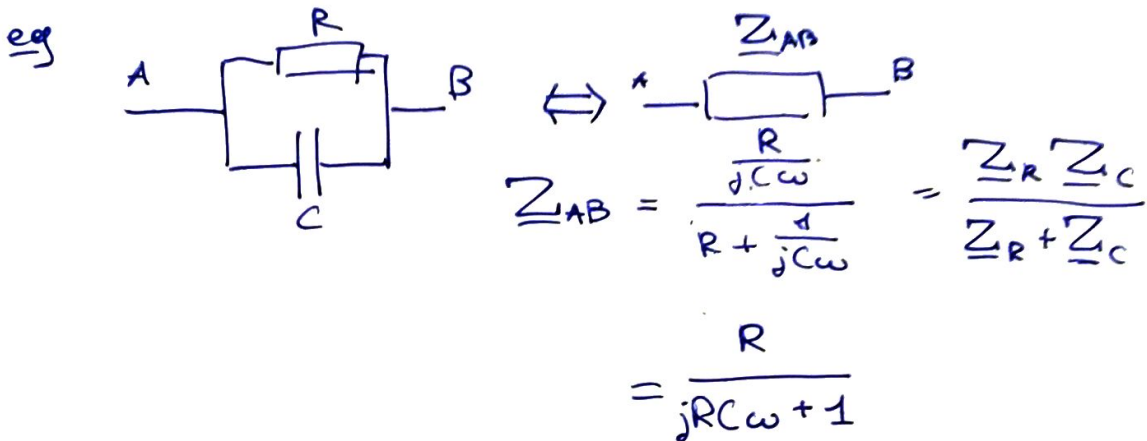
ex.

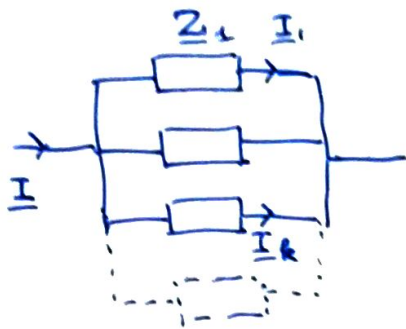


b en parallèle



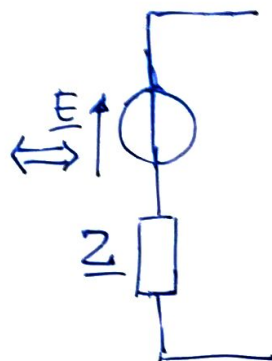
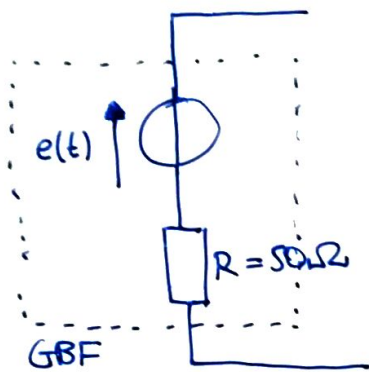
$$\underbrace{Y_{eq}}_{\text{admittance}} = \frac{1}{Z_{eq}} = \sum_k \frac{1}{Z_k} = \sum_k Y_k$$





$$\underline{I}_k = \frac{\frac{1}{Z_k}}{\sum_i \frac{1}{Z_i}} = \frac{Y_k}{\sum_i Y_i}$$

#### 4 Dipôles actifs

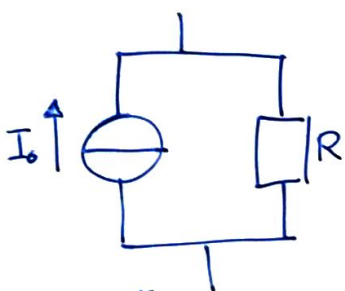


Thévenin

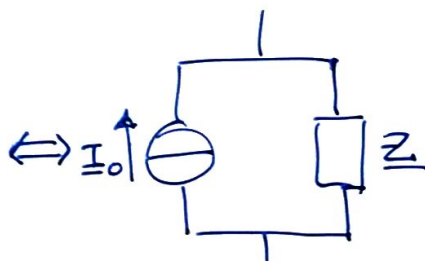
$$e(t) = E_m \cos(\omega t)$$

$$\underline{e} = E_m e^{j\omega t}$$

$$\underline{E} = E_m$$



$$I_0 = \frac{E}{R}$$



$$\underline{I}_0 = \frac{\underline{E}}{Z}$$

Norton

---

$e^{j\varphi}$  des idées de génie

## V Lois en RSF

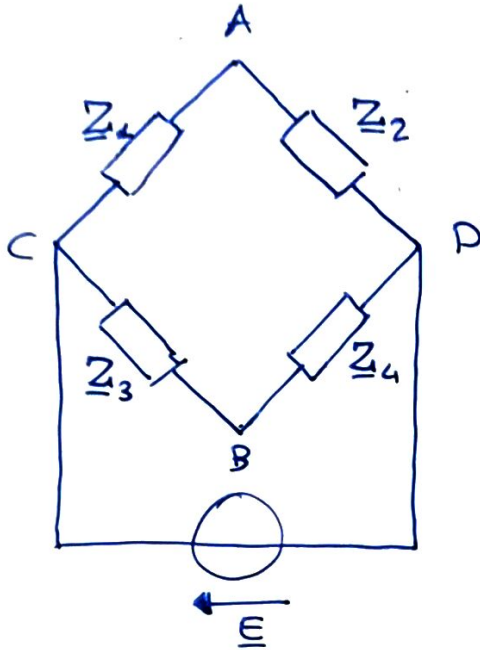
Puisque l'on vient de se ramener à des lois similaires pour  $\forall$  les dipôles,  $\forall$  les lois vues en régime permanent vont s'appliquer :

- loi des mailles
- loi des nœuds
- diviseurs
- loi de Poyillet
- th de Millman

$$\underline{V}_N = \frac{\sum_k \frac{E_k \underline{E}_k + \underline{V}_k}{Z_k} + \sum_q E_q \underline{I}_{0,q}}{\sum_k Y_k}$$



## eg Pont de Wheatstone



On dit que le pont est équilibré s.  $U_{AB} = 0$

$$U_{CA} = \frac{Z_1}{Z_1 + Z_2} E \quad U_{CB} = \frac{Z_3}{Z_3 + Z_4} E$$

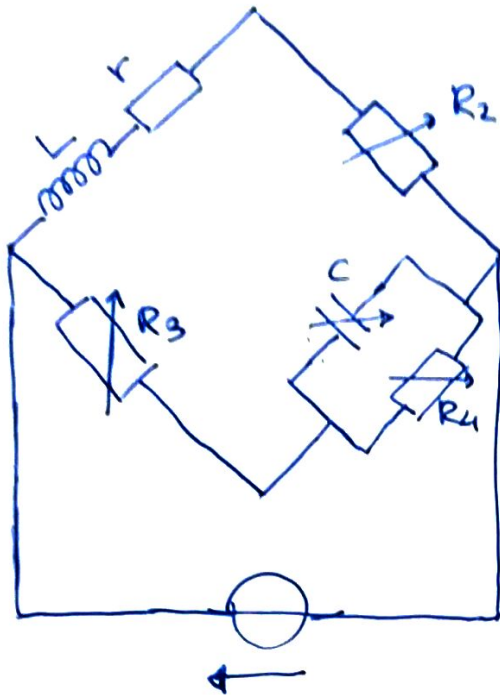
$$U_{CB} - U_{CA} = U_{AB} = \left( \frac{Z_3}{Z_3 + Z_4} - \frac{Z_1}{Z_1 + Z_2} \right) E$$

Le pont est équilibré si:

$$\frac{Z_3}{Z_3 + Z_4} = \frac{Z_1}{Z_1 + Z_2}$$

$$\Leftrightarrow Z_3 Z_2 = Z_1 Z_4$$

Grâce à cette méthode, on peut déterminer (L, r)



$$\underline{Z}_2 = R_2$$

$$\underline{Z}_3 = R_3$$

$$\underline{Z}_1 = r + jL\omega$$

$$\underline{Z}_4 = \frac{\frac{R_4}{jC\omega}}{R_4 + \frac{1}{jC\omega}} = \frac{R_4}{1 + jR_4C\omega}$$

$$\underline{Z}_2 \underline{Z}_3 = \underline{Z}_1 \underline{Z}_4$$

$$\Leftrightarrow R_2 R_3 = (r + jL\omega) \frac{R_4}{1 + jR_4C\omega}$$

$$\Leftrightarrow R_2 R_3 (1 + jR_4C\omega) = R_4 (r + jL\omega)$$

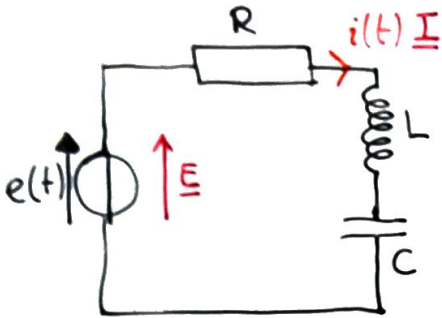
$$\Leftrightarrow \begin{cases} R_2 R_3 = R_4 r \\ R_2 R_3 R_4 C \omega = R_4 L \omega \end{cases}$$

$$\Leftrightarrow \begin{cases} r = \frac{R_2 R_3}{R_4} \\ L = R_2 R_3 C \end{cases}$$

### Signaux ###

## VI Résonances en intensité et en vitesse.

### 1. En intensité



$$e(t) = E_m \cos(\omega t)$$

On cherche  $i(t)$  sous la forme:

$$I_m \cos(\omega t + \varphi)$$

même forme & pulsation que celle imposée par le GBF: RSF

On cherche à exprimer  $I_m$  et  $\varphi$

On passe en notation complexe.

$$\underline{e} = E_m e^{j\omega t}$$

$$\underline{i} = I_m e^{j(\omega t + \varphi)}$$

$$\underline{E} = E_m e^{j0}$$

$$\underline{I} = I_m e^{j\varphi}$$

$I_m$  et  $\varphi$  contenues  
dans  $\underline{I}$

Loi de Pouillet:

$$\begin{aligned} \underline{I} &= \frac{\sum_k \underline{E}_k}{\sum_k \underline{R}_k} = \frac{\underline{E}}{\underline{Z}_R + \underline{Z}_L + \underline{Z}_C} = \frac{E}{R + jL\omega + \frac{1}{jC\omega}} \\ &= \frac{E}{R + j(L\omega - \frac{1}{C\omega})} \end{aligned}$$

Ainsi  $\begin{cases} I_m = |\underline{I}| \\ \varphi = \arg \underline{I} \end{cases}$

$$\begin{aligned} \bullet I_m = |\underline{I}| &= \frac{|\underline{E}|}{|R + j(L\omega - \frac{1}{C\omega})|} \\ &= \frac{E_m}{\sqrt{R^2 + (L\omega - \frac{1}{C\omega})^2}} \end{aligned}$$

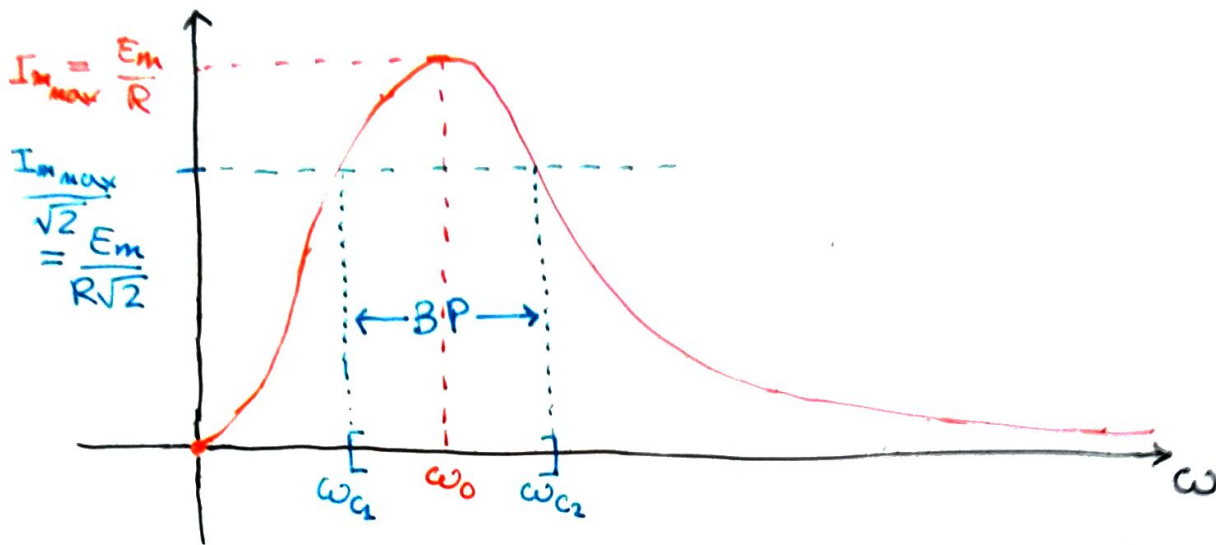
rg L'amplitude du courant dépend de la pulsation imposée par le GBF.

Graphique ( $I_m(\omega)$ ):

$$\begin{aligned} \bullet R^2 + (L\omega - \frac{1}{C\omega})^2 &\geq R^2 \\ I_m &\leq \frac{E_m}{R} \end{aligned}$$

$$\begin{aligned} \bullet \lim_{\omega \rightarrow 0} I_m(\omega) &= 0 \\ \lim_{\omega \rightarrow \infty} I_m(\omega) &= 0 \end{aligned}$$

$$\begin{aligned} \bullet R^2 + (L\omega - \frac{1}{C\omega})^2 = R^2 &\Leftrightarrow L\omega - \frac{1}{C\omega} = 0 \\ &\Leftrightarrow L\omega = \frac{1}{C\omega} \\ &\Leftrightarrow LC\omega^2 = 1 \\ &\Leftrightarrow \omega = \frac{1}{\sqrt{LC}} = \omega_0 ! \end{aligned}$$



On dit qu'il y a résonance en intensité

La pulsation de résonance:  $\omega_r = \omega_0 = \frac{1}{\sqrt{LC}}$

def On définit la bande-passante BP

C'est l'intervalle de pulsations tq  
 } fréquences

$$I_m(\omega) \geq \frac{I_{m \max}}{\sqrt{2}}$$

On cherche alors les pulsations dites de coupures  $\omega_{c1}$  et  $\omega_{c2}$

$$I_m(\omega) = \frac{I_{m \max}}{\sqrt{2}}$$

$$\frac{E_m}{\sqrt{R^2 + \left(L\omega - \frac{1}{C\omega}\right)^2}} = \frac{E_m}{\sqrt{2} R}$$

1. Simplifier  $E_m$
2. Inverser
3. Élever au carré

$$\Leftrightarrow R^2 + \left(L\omega - \frac{1}{C\omega}\right)^2 = 2R^2$$

$$\Leftrightarrow \left(L\omega - \frac{1}{C\omega}\right) = \pm R$$

$$\Leftrightarrow L\omega - \frac{1}{C\omega} = \pm R$$

$$\Leftrightarrow LC\omega^2 \pm RC\omega - 1 = 0$$

$$\Delta = RC^2 + 4LC > 0$$

$$\omega = \frac{\pm RC \pm \sqrt{R^2C^2 + 4LC}}{2LC}$$

$$\omega_{c1} = \frac{RC + \sqrt{R^2C^2 + 4LC}}{2LC} ; \omega_{c2} = \frac{-RC + \sqrt{R^2C^2 + 4LC}}{2LC} \quad (\sqrt{\Delta} > \sqrt{R^2C^2})$$

La largeur de la bande passante :

$$\Delta\omega = \omega_{c2} - \omega_{c1} = \frac{RC + \sqrt{\Delta}}{2LC} - \frac{-RC + \sqrt{\Delta}}{2LC}$$

$$\Delta\omega = \omega_{c2} - \omega_{c1} = \frac{R}{L} = \frac{\omega_0}{Q}$$

RLC série

Lorsque le facteur de qualité est grand, la BP est plus étroite :

On dit que la résonance est plus aigüe / Q carac. l'acuité de la réso



•  $\varphi = \arg \underline{I}$

$$\underline{I} = \frac{\underline{E}}{R + j(L\omega + \frac{1}{C\omega})} = \frac{E_m}{R + j(L\omega + \frac{1}{C\omega})}$$

$$\varphi = \arg \frac{E_m}{\dots\dots\dots}$$

$$= \arg E_m - \arg(R + j(L\omega + \frac{1}{C\omega}))$$

$$= 0 - \arg(R + j(L\omega + \frac{1}{C\omega}))$$

$$\cos \varphi = \cos(-\arg(R + j(L\omega + \frac{1}{C\omega}))) = \frac{R}{\sqrt{R^2 + (L\omega + \frac{1}{C\omega})^2}} > 0 \Rightarrow \varphi \in ]-\frac{\pi}{2}, \frac{\pi}{2}[$$

$$\sin \varphi = \sin(-\arg(R + j(L\omega + \frac{1}{C\omega}))) = \frac{L\omega + \frac{1}{C\omega}}{\sqrt{R^2 + (L\omega + \frac{1}{C\omega})^2}}$$

$$\tan \varphi = \tan(-\arg(\dots\dots\dots)) \stackrel{*}{=} -\tan \arg(\dots\dots)$$

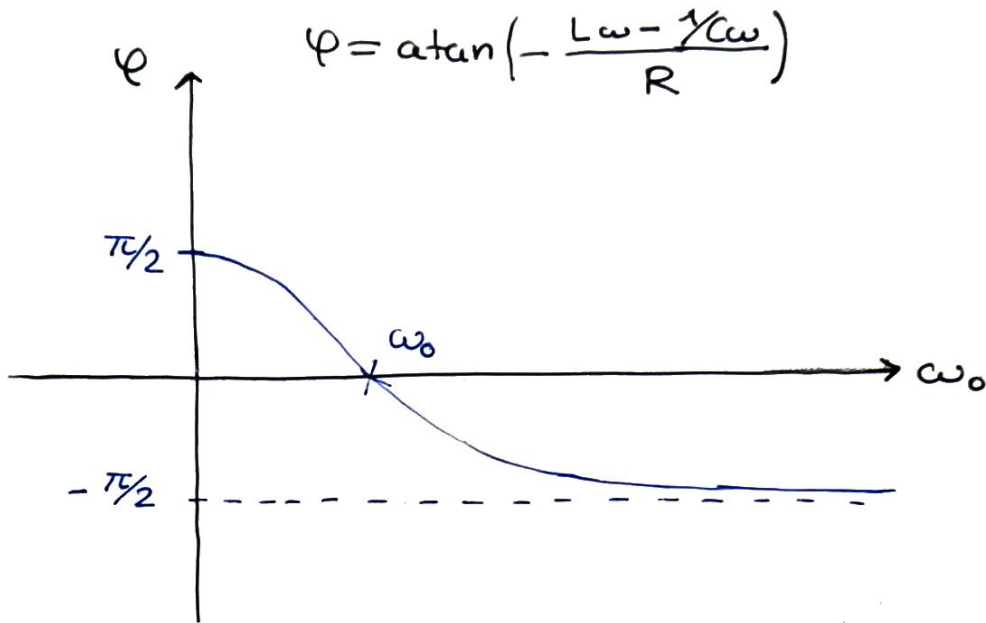
$$= -\frac{L\omega + \frac{1}{C\omega}}{R} \quad \text{car } R > 0$$

•  $\lim_{\omega \rightarrow 0} \varphi \stackrel{*}{=} \frac{\pi}{2}$

$\lim_{\omega \rightarrow \infty} \varphi \stackrel{*}{=} -\frac{\pi}{2}$

$\varphi(\omega_0) \stackrel{*}{=} 0$

\*  $\omega_0$  est tel que  $L\omega_0 - \frac{1}{C\omega_0} = 0$



[https://sciences.univ-nantes.fr/sites/genevieve\\_tulloue/Elec/Alternatif/transfert2RLC.php](https://sciences.univ-nantes.fr/sites/genevieve_tulloue/Elec/Alternatif/transfert2RLC.php)

Deux manières de repérer la résonance en intensité :

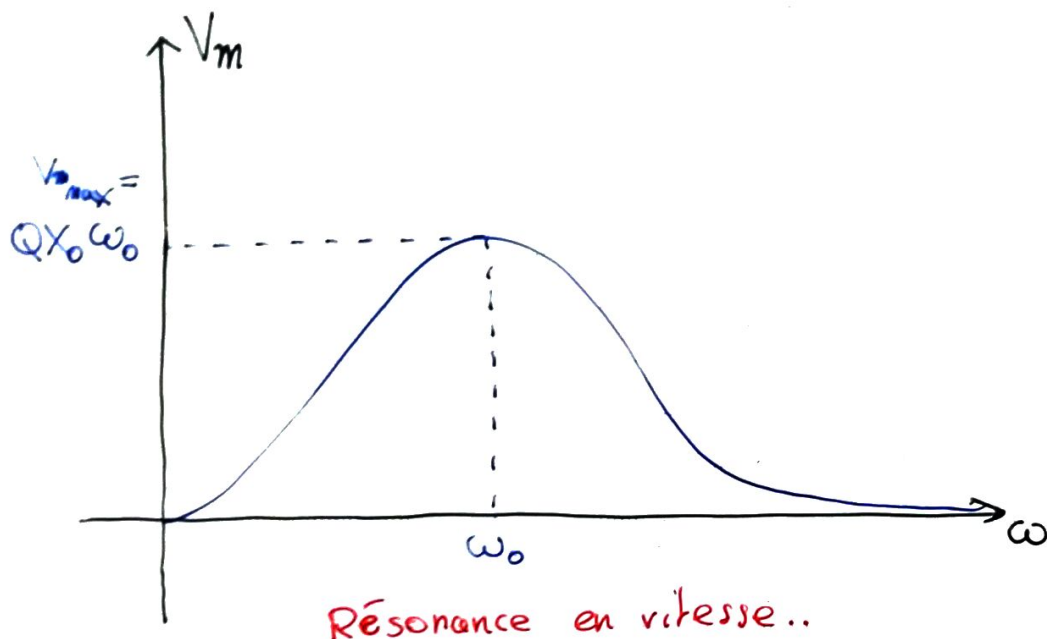
- On fait varier  $f$  pour trouver une amplitude  $I_m$  maximale
- On fait varier  $f$  jusqu'à obtenir un déphasage nul.

L'amplitude complexe de la vitesse

$$\underline{V} = V_m e^{j\varphi} \quad (\underline{v} = \underline{V} e^{j\omega t})$$
$$= \frac{Q\omega_0 X_0}{1 + jQ\left(\frac{\omega}{\omega_0} - \frac{\omega_0}{\omega}\right)}$$

L'amplitude de la vitesse:

$$V_m = |\underline{V}| = \frac{Q X_0 \omega_0}{\sqrt{1 + Q^2 \left(\frac{\omega}{\omega_0} - \frac{\omega_0}{\omega}\right)^2}}$$



$V_m$  passe un max lorsque dénominateur ( $V_m$ ) passe par un min, ie

la parenthèse est nulle, ie  $\frac{\omega}{\omega_0} - \frac{\omega_0}{\omega} = 0$ .

donc avec  $\omega = \omega_0$

BP: intervalle de pulsation tq  $V_m > \frac{V_{m \max}}{\sqrt{2}} \Rightarrow \frac{Q\omega_0 X_0}{\sqrt{1 + Q^2 \left(\frac{\omega}{\omega_0} - \frac{\omega_0}{\omega}\right)^2}} = \frac{Q\omega_0 X_0}{\sqrt{2}}$



$$\Leftrightarrow 1 + Q^2 \left( \frac{\omega}{\omega_0} - \frac{\omega_0}{\omega} \right)^2 = 2$$

$$\Leftrightarrow Q^2 \left( \frac{\omega}{\omega_0} - \frac{\omega_0}{\omega} \right)^2 = 1$$

$$\Leftrightarrow \frac{\omega}{\omega_0} - \frac{\omega_0}{\omega} = \pm \frac{1}{Q}$$

$$\omega^2 \pm \frac{\omega_0}{Q} \omega - \omega_0^2 = 0 \quad \Delta = \frac{\omega_0^2}{Q^2} + 4\omega^2\omega_0^2 > 0$$

Racines 
$$\omega = \frac{\pm \frac{\omega_0}{Q} \pm \sqrt{\Delta}}{2}$$

$$\Delta \omega = \frac{\frac{\omega_0}{Q} + \sqrt{\Delta}}{2} - \frac{-\frac{\omega_0}{Q} + \sqrt{\Delta}}{2}$$

$$\Delta \omega = \frac{\omega_0}{Q}$$

$$\underline{V} = \frac{\omega_0 Q X_0}{1 + jQ \left( \frac{\omega}{\omega_0} - \frac{\omega_0}{\omega} \right)} = V_m e^{j\varphi}$$

$$\varphi = \arg \underline{V}$$

$$= \arg(\cancel{\omega_0 Q X_0}) - \arg\left(1 + jQ \left( \frac{\omega}{\omega_0} - \frac{\omega_0}{\omega} \right)\right)$$

$$= \arctan\left(\tan\left(-\arg\left(1 + jQ \left( \frac{\omega}{\omega_0} - \frac{\omega_0}{\omega} \right)\right)\right)\right) \quad \begin{array}{l} \text{car } 1 \neq 0 \\ \text{et } \operatorname{Re}(\dots) = 1 \end{array}$$

$$= \arctan\left(-\tan \arg\left(1 + jQ \left( \frac{\omega}{\omega_0} - \frac{\omega_0}{\omega} \right)\right)\right) \quad \text{par imparit  de } \tan$$

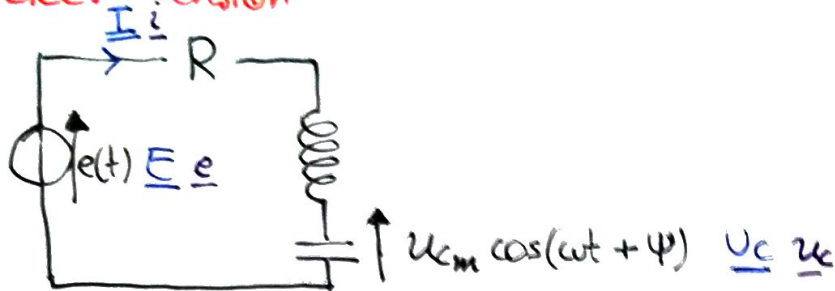
$$= \arctan\left(-\frac{Q \left( \frac{\omega}{\omega_0} - \frac{\omega_0}{\omega} \right)}{1}\right) \quad \tan(\arg(z)) = \frac{\operatorname{Im} z}{\operatorname{Re} z}$$

$$= \arctan\left(-Q \left( \frac{\omega}{\omega_0} - \frac{\omega_0}{\omega} \right)\right)$$

# ## Signaux ##

## VII Autres résonances

En élec: Tension



$$e(t) = E_m \cos(\omega t)$$

$$\underline{e} = E_m e^{j\omega t}$$

$$\underline{E} = E_m$$

$$\underline{u}_c = u_{cm} e^{j(\omega t + \psi)}$$

$$\underline{U}_c = u_{cm} e^{j\psi}$$

On cherche  $u_{cm}$  et  $\psi$

$$\underline{U}_c = \frac{\underline{Z}_c}{\underline{Z}_c + \underline{Z}_L + \underline{Z}_R} \underline{E} = \frac{\frac{1}{j\omega C}}{\frac{1}{j\omega C} + j\omega L + R} \underline{E}$$
$$= \frac{1}{1 - LC\omega^2 + jR\omega} \underline{E}$$

Mise en forme (vrai qu'en RLC)

$$\omega_0 = \frac{1}{\sqrt{LC}}; \quad Q = \frac{L\omega_0}{R} = \frac{1}{RC\omega_0}$$

$$L\omega_0 = \frac{1}{C\omega_0}$$

$$\underline{U}_c = \frac{1}{1 - \frac{\omega^2}{\omega_0^2} + j\frac{\omega}{Q\omega_0}} \underline{E}$$

$$RC = \frac{1}{Q\omega_0}$$



On pose  $u = \frac{\omega}{\omega_0}$  la pulsation réduite:

$$\underline{u}_c = \frac{1}{1 - u^2 + j \frac{u}{Q}} \underline{E}$$

$$\text{Or } \underline{u}_c = u_{cm} e^{j\psi} \Rightarrow \begin{cases} u_{cm} = |\underline{u}_c| \\ \psi = \text{arg } \underline{u}_c \end{cases}$$

En méca: Élongation



$$m\ddot{x} + \lambda\dot{x} + kx = F_0 \cos(\omega t)$$

$$\Leftrightarrow \ddot{x} + \frac{\omega_0}{Q}\dot{x} + \omega_0^2 x = \underbrace{\omega_0^2 X_0}_{= \frac{F_0}{m}} \cos(\omega t)$$

On cherche à exprimer:

$$\boxed{\begin{aligned} \underline{x} &= X_m e^{j(\omega t + \psi)} \\ \underline{X} &= X_m e^{j\psi} \end{aligned}}$$

Re(·)

$$\begin{aligned} \ddot{\underline{x}} + \frac{\omega_0}{Q}\dot{\underline{x}} + \omega_0^2 \underline{x} &= \omega_0^2 X_0 e^{j\omega t} \\ = -\omega^2 X_m e^{j(\omega t + \psi)} + j \frac{\omega_0 \omega}{Q} e^{j(\omega t + \psi)} + \omega_0^2 X_m e^{j(\omega t + \psi)} &= \omega_0^2 X_0 \cos \omega t \end{aligned}$$

$$-\omega^2 \underline{x} + j \frac{\omega \omega_0}{Q} \underline{x} + \omega_0^2 \underline{x} = \omega_0^2 X_0 e^{j\omega t}$$

$$\underline{x} = \frac{\omega_0^2 X_0 e^{j\omega t}}{\omega_0^2 - \omega^2 + j \frac{\omega \omega_0}{Q}}$$

$$\underline{X} = \frac{\omega_0^2 X_0}{\omega_0^2 - \omega^2 + j \frac{\omega \omega_0}{Q}}$$

$$= \frac{1}{1 - \frac{\omega^2}{\omega_0^2} + j \frac{\omega}{\omega_0 Q}} X_0 \quad \left. \vphantom{\frac{1}{1 - \frac{\omega^2}{\omega_0^2} + j \frac{\omega}{\omega_0 Q}}} \right\} \text{comme } \underline{u}$$

$$= \frac{1}{1 - u^2 + j \frac{u}{Q}} \quad \text{avec } u \stackrel{\text{def}}{=} \frac{\omega}{\omega_0} \text{ la pulsation r\u00e9duite}$$

$$\underline{X} = X_m e^{j\psi} \Rightarrow \begin{cases} X_m = |\underline{X}| \\ \psi = \arg \underline{X} \end{cases}$$

$$X_m = \frac{X_0}{\sqrt{(1-u^2)^2 + \frac{u^2}{Q^2}}} \quad (\text{resp } u_{cm} = \frac{E_m}{\dots})$$

$$\text{Posons } T(u) = \frac{1}{\sqrt{(1-u^2)^2 + \frac{u^2}{Q^2}}}$$

$$\left\{ \begin{array}{l} T \xrightarrow{0} 1 \quad * \\ T \xrightarrow{+\infty} 0 \quad * \end{array} \right.$$

Existe-t-il un maximum pour  $T$  ?

$$T(u) = \left( (1-u^2)^2 + \frac{u^2}{Q^2} \right)^{-1/2}$$

$$T'(u) = -\frac{1}{2} \left( 2(1-u^2)(-2u) + \frac{2u}{Q^2} \right) \left( (1-u^2)^2 + \frac{u^2}{Q^2} \right)^{-3/2}$$

$$T'(u) = 0 \Leftrightarrow 2(1-u^2)(-2u) = -\frac{2u}{Q^2} \text{ ou } \frac{1}{\left( (1-u^2)^2 + \frac{u^2}{Q^2} \right)^{3/2}} = 0$$

$$\Leftrightarrow u(-2)(1-u^2) + \frac{1}{Q^2} = 0$$

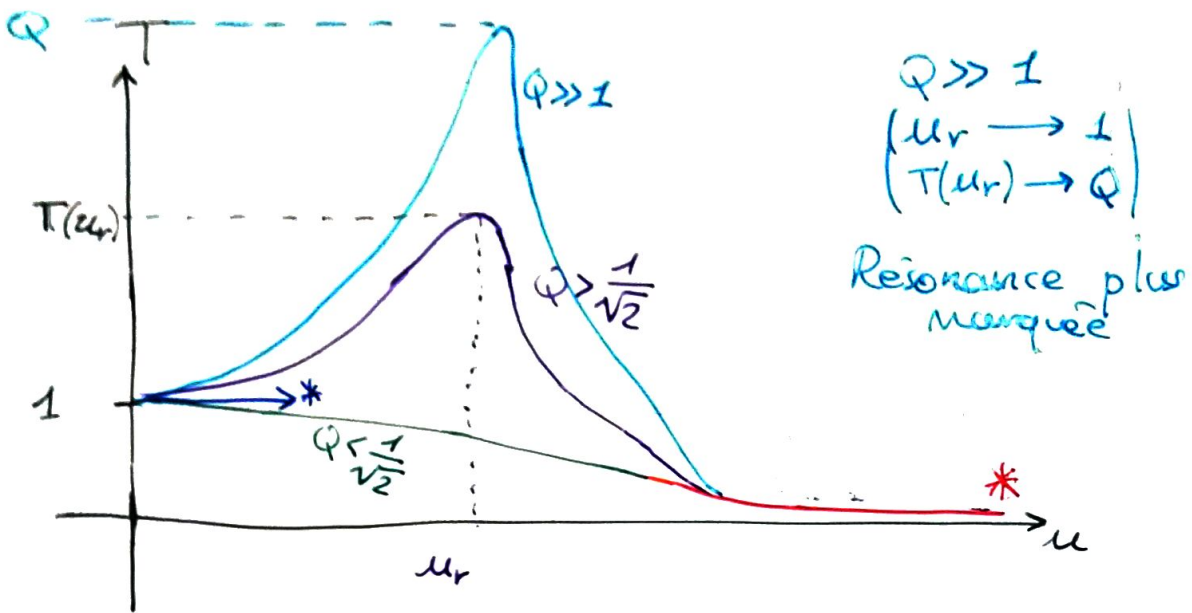
$$\Leftrightarrow \begin{cases} u = 0 \\ \text{ou} \end{cases}$$

$$\begin{aligned} -2 - 2u^2 &= -\frac{1}{Q^2} \Leftrightarrow u = \pm \sqrt{\frac{Q^{-2} + 2}{2}} \\ &= \pm \sqrt{+\frac{1}{2Q^2} - 1} \\ &= \sqrt{\frac{1}{2Q^2} - 1} \end{aligned}$$

$$\Leftrightarrow \begin{cases} u = 0 \\ \text{ou} \\ u^2 = 1 - \frac{1}{2Q^2} \end{cases} \text{ n'existe que si } 1 - \frac{1}{2Q^2} > 0$$

$$\Leftrightarrow Q > \frac{1}{\sqrt{2}}$$

$$\text{alors } u_r = \sqrt{1 - \frac{1}{2Q^2}}$$



Le phénomène de résonance existe si  $Q > \frac{1}{\sqrt{2}}$ .

La pulsation réduite de résonance  $u_r = \sqrt{1 - \frac{1}{2Q^2}}$

Le max vaut alors:

$$\begin{aligned}
 T(u_r) &= \frac{1}{\sqrt{(1-u^2)^2 + \frac{u^2}{Q^2}}} = \frac{1}{\sqrt{\left(1-1+\frac{1}{2Q^2}\right)^2 + \frac{1-\frac{1}{2Q^2}}{Q^2}}} \\
 &= \frac{1}{\sqrt{\frac{1}{4Q^4} + \frac{1}{Q^2} - \frac{1}{2Q^2}}} \\
 &= \frac{1}{\sqrt{\frac{1}{Q^2} - \frac{1}{4Q^4}}}
 \end{aligned}$$

$$\underline{X} = \frac{X_0}{1-u^2 + j\frac{u}{Q}} = X_m e^{j\psi}$$

$$\psi = \arg \underline{X} = \arg \frac{1}{1-u^2 + j\frac{u}{Q}} \quad (\text{resp. } \underline{u})$$

$$= -\arg(1-u^2 + j\frac{u}{Q})$$

$$-\sin \psi = -\frac{\text{Im } \underline{X}}{|\underline{X}|} = \frac{-\frac{u}{Q}}{\sqrt{(-u^2)^2 + \frac{u^2}{Q^2}}} < 0$$

$$-\tan \psi = \frac{-\text{Im } \underline{X}}{\text{Re } \underline{X}} = \frac{u/Q}{1-u^2}$$

$$u \rightarrow 0: \tan \psi \rightarrow 0 \Rightarrow \psi \rightarrow 0$$

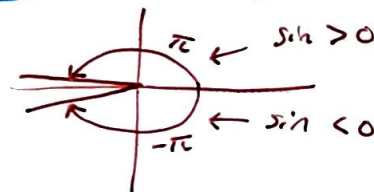
$$u \rightarrow +\infty: \tan \psi \rightarrow 0$$

$$\psi = -\arctan\left(\frac{u}{Q} \cdot \frac{1}{1-u^2}\right) \quad (u < 1) \quad (\arg z = \arctan \frac{\text{Im } z}{\text{Re } z} \text{ si } \text{Re } z > 0)$$

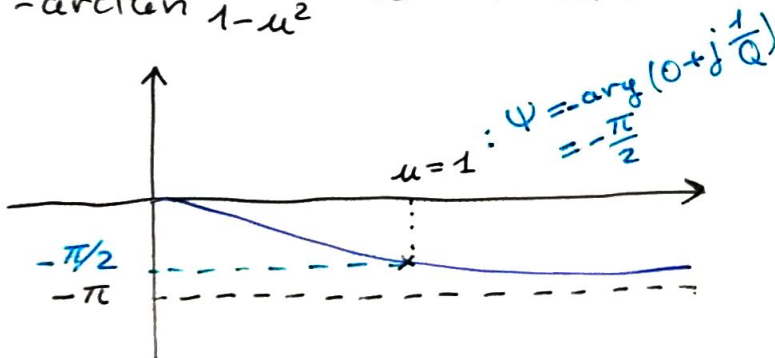
$$= -\arctan\left(\frac{u/Q}{1-u^2}\right) = \pi \quad (u > 1)$$

$$\arctan \frac{\text{Im } z}{\text{Re } z} = \pm \pi \text{ si } \text{Re } z < 0$$

(sin  $\psi < 0$ )



$$\psi = -\arctan \frac{u/Q}{1-u^2} - \pi \quad \text{si } u > 1$$



[poly]

au verso: rajouter: "ou résonance en élévation  
en u<sub>222</sub>"

@ titre

rajouter: "= u"

@ droite: axe: "x"

rajouter: "= X<sub>m</sub>"

@ droite: axe: "u<sub>m</sub>"

rajouter: courbe pour  $Q \gg 1$

label:  $Q_4 \gg \frac{1}{\sqrt{2}}$

@ graphe #1

## eg L'exemple du Pont de Tacoma, 1840

Il y a présence d'une excitation (le vent) probablement périodique donc décomposable en série de Fourier (fondamentale, des harmoniques multiples de la fondamentale).

Ensuite la structure du pont (ou grette-ciel, bateau, avion)

possède, comme l'exemple de l'oscillateur du cours, des pulsations propres (intrinsèques): si par malchance l'une

des pulsations excitatrices coïncide avec une des pulsations

propres, il peut y avoir des phénomènes de résonance en

vitesse et en élévation destructifs